

14. G. P. Glass, G. B. Kistiakowsky e. a. J. Chem. Phys., 1965, **42**, 2.
15. R. A. Strehlow, R. E. Maurer, S. Rajan. AIAA J., 1965, **7**, 2.
16. A. Burcat, A. Lifshitz e. a. 13-th Symp. (Intern.) on Combustion. Pittsburgh, 1971.
17. Р. Киэпп, Дж. Дэйли, Ф. Хэммит. Кавитация. М.: Мир, 1974.
18. W. Lauterborn.— In: Cavitation and Inhomogeneities in Underwater Acoustics/ W. Lauterborn: Springer — Verlag: Berlin Heidelberg. N. Y., 1980.
19. Б. Е. Гельфанд, С. А. Губин, С. М. Когарко и др. Изв. АН СССР. МЖГ, 1975, **4**, 51.
20. В. С. Тесленко. ПМТФ, 1976, **4**, 109.

*Поступила в редакцию 4/VIII 1986,
после доработки — 23/I 1987*

ОЦЕНКА ДАВЛЕНИЯ В ВОЛНЕ НИЗКОСКОРОСТНОЙ ДЕТОНАЦИИ ПРЕССОВАННОГО ТЭНА

*B. Ф. Мартынюк, A. A. Сулимов, M. K. Сукаян, A. B. Обменин
(Москва)*

Стационарная низкоскоростная детонация (НСД) в прессованных ВВ наблюдалась лишь для зарядов, заключенных в оболочку. При этом о стационарности процесса судили по неизменности скорости распространения детонации и конечной деформации внутреннего канала оболочки после прохождения процесса [1]. Надежные данные о профиле давления НСД для зарядов в металлической оболочке по существу отсутствуют. что объясняется трудностью применения традиционных методик измерения давления в этих условиях. В данной работе исследована динамическая картина деформации стальной оболочки при распространении НСД в прессованном тэне плотностью 1,73 г/см³. Заряд заключался в стальную оболочку с внутренним и внешним диаметрами 10 и 16 мм. Полученные данные позволили оценить профиль давления в волне НСД.

Осуществлялась покадровая (с помощью ждущей луны времени ЖЛВ-2) съемка процесса расширения внешнего диаметра оболочки на фоне яркого экрана. Скорость съемки составляла 250 000 кадр/с. В зависимости от дисперсности тэнна (применялся продукт с размером частиц 400—600 мкм) НСД распространялась со скоростью $u = 2300 \div 2600$ м/с. НСД выходит на стационарный режим на расстоянии 40—50 мм от места поджига у закрытого торца и распространяется с постоянной скоростью на всю длину оболочки (200 мм). Стационарность профиля давления за фронтом волны подтверждается неизменностью характера разлета оболочки. На рис. 1 представлены фотографии расширения оболочки, причем фотографии, снятые через 20 мкс, наложены одна на другую. Видно начало расширения оболочки *A* и место прорыва продуктов детонации *B* вследствие потери оболочкой сплошности, которая возникает приблизительно при двухкратном увеличении диаметра. При наличии радиальных отверстий в оболочке зафиксировано, что свечение, соответствующее реакции, с точностью, обеспечивающей скважностью используемого прибора (время экспонирования 2 мкс), совпадает с началом расширения оболочки.

Полученные фотографии использованы для оценки давления в волне НСД. Действительно, из фотографий определяются значения внешнего диаметра оболочки в разных сечениях в различные моменты времени. Внутренний радиус оболочки R вычислялся по измеренным текущим значениям внешнего радиуса, исходя из предположения о несжимаемости материала оболочки. На рис. 2 для установившегося режима распространения НСД представлена зависимость изменения относительного внутреннего радиуса оболочки $(R - R_0)/R_0$ (R_0 — начальный внутренний радиус) от времени от начала ее расширения, определенная для сечений, отстоящих на 50, 60, 70, 80 и 90 мм от места поджигания

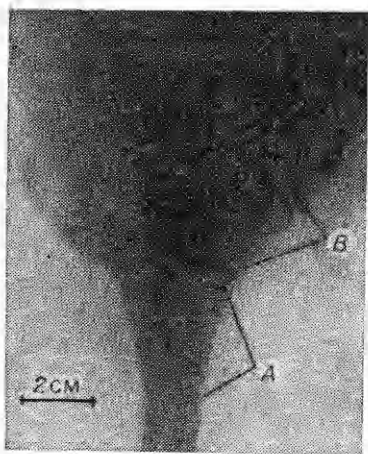


Рис. 1.

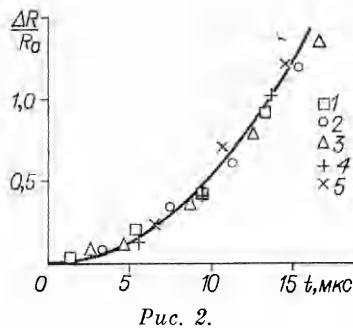


Рис. 2.

(точки 1—5). НСД распространялись с $v = 2600$ м/с. Видно, что экспериментальные данные имеют разброс. Сделана попытка поиска функции $z(t) = R(t)/R_0$ в виде степенного полинома

$$Z(t) = 1 + at + bt^2 + ct^3 + \dots$$

Анализ фотографий разлета оболочки показывает, что в начальный момент времени скорость оболочки равна нулю (отсутствие излома в точке А на рис. 1). Это приводит к условию $a = 0$. Использование полиномов с дробными степенями меньше двух ведет к бесконечным ускорениям в нулевой момент времени, что не соответствует наблюдаемой картине. Отсюда естественна попытка описать радиальный разлет выражением типа

$$Z(t) = 1 + bt^2 + ct^3.$$

Методом наименьших квадратов получено, что данные хорошо аппроксимируются единственным выражением $Z(t) = bt^2$, где коэффициент $b = 0,0054 \text{ мк}^{-2}$ для НСД с $v = 2600$ м/с (кривая на рис. 2) и $0,0046 \text{ мк}^{-2}$ для НСД с $v = 2300$ м/с. Учет члена ct^3 приводит к увеличению ускорения оболочки на фронте на 10% и уменьшению на 20% ускорения к моменту ее разрушения. Учет более высоких степеней вызывает существенно меньшее изменение ускорения.

Для оценки давления в волне НСД воспользуемся уравнением радиального разлета тонкой оболочки, которое в эйлеровых координатах имеет вид

$$1/Z \cdot d^2Z/dt^2 = (p - p_s)/[R_0 \rho_{06} H_0 (1 + H_0/2R_0)],$$

где p — давление, действующее на оболочку; p_s — ее прочность; ρ_{06} — плотность материала оболочки; H_0 — толщина стенки. Пренебрежение толщиной оболочки приводит к завышению расчетного давления, действующего на оболочку в начальной стадии, приблизительно в 1,5 раза. Кроме того, к завышению давления приводит при расчете пренебрежение неодномерностью разлета оболочки. Эта составляющая ошибки может достигать 20% на конечной стадии. Подставляя выражение $Z(t) = 1 + bt^2$ в уравнение разлета оболочки, получим зависимость действующего на оболочку давления от времени

$$p(t) = p_s + 2bR_0 \rho_{06} H_0 (1 + H_0/2R_0)/(1 + bt^2).$$

Рассматривая оболочку как идеальное жестко-пластическое твердое тело, можно оценить ее прочность: $p_s = \sigma_{\text{пр}} \ln \left(\frac{R_0 + H_0}{R_0} \right) = 1,5$ кбар ($\sigma_{\text{пр}}$ — предел текучести материала оболочки). Наибольшую трудность при такой обработке составляет оценка давления на фронте волны. Однако полученные электромагнитным методом данные [2] показывают, что процессы, распространяющиеся со скоростями рассматриваемого диапазона, имеют четко выраженный ударный фронт и расщепление волны отсутствует. При этом амплитуда давления на фронте, с учетом возможной

погрешности определения в 1,5—2 раза, согласуется с данными, полученными при измерении ударной адиабаты тэна с $\rho = 1,72 \text{ г}/\text{см}^3$ [3], имеющими разброс такого же порядка величины. Давление на фронте волны составляет 18 кбар для НСД с $u = 2600 \text{ м}/\text{с}$ (расчеты завышают действительное значение давления), оно близко к критическому давлению инициирования нормальной детонации в тэне с $\rho = 1,73 \text{ г}/\text{см}^3$ [4]. Проведена также оценка пространственного распределения давления, получено, что на расстояниях 13, 26 и 39 мм от переднего фронта действующее на оболочку давление составляло 16, 12 и 8 кбар соответственно. Следует отметить, что полученный расчетный профиль давления характеризуется относительно медленным спадом по сравнению с профилями давления, полученными в насыпных зарядах ВВ [5, 6]. При распространении преддетонационного процесса с характерной для НСД скоростью в заряде без оболочки литого тротила, обладающего малой удельной поверхностью, наблюдался аналогичный полученному в данной работе профиль давления (при распространении процесса на большие расстояния профиль массовой скорости с отсутствием спада оставался неизменным и переход в детонацию отмечался на расстоянии 120 мм) [7]. В данной работе наличие разрушающейся оболочки при малых диаметрах заряда обеспечивает отсутствие сильных вторичных волн, могущих привести к возникновению нормальной детонации.

Полученная динамическая картина деформации стальной оболочки может быть использована для расчета степени выгорания ВВ в волне НСД.

ЛИТЕРАТУРА

1. А. В. Обменин, В. А. Балыков, А. И. Коротков и др. ФГВ, 1970, 5, 4, 571.
2. А. А. Сулимов, А. В. Обменин, А. И. Коротков и др.— В кн.: Горение и взрыв. М.: Наука, 1972.
3. D. Stirpe, J. O. Johnson, J. Wackerly. J. Appl. Phys., 1970, 41, 9, 3884.
4. А. Ф. Беляев, В. К. Боболов, А. И. Коротков и др. Переход горения конденсированных систем во взрыв. М.: Наука, 1973.
5. А. В. Дубовик, В. К. Боболов. Взрывное дело, № 63/20. М.: Недра, 1967.
6. К. К. Шведов, С. А. Колдунов, А. Н. Дремин. ФГВ, 1973, 9, 3, 424.
7. А. Н. Дремин, С. А. Колдунов. Взрывное дело, № 63/20. М.: Недра, 1967.

*Поступила в редакцию 20/XII 1983,
после доработки — 13/X 1986*

ВЛИЯНИЕ СЖИМАЕМОСТИ МАТЕРИАЛА ДОБАВКИ НА СКОРОСТИ ДЕТОНАЦИИ СМЕСЕВЫХ ЗАРЯДОВ

*И. М. Воскобойников, М. Ф. Гогуля, Г. В. Димза
(Москва)*

Параметры детонации взрывчатых веществ снижаются при введении в заряды инертных добавок из-за сжатия, разгона и прогрева частиц добавок. Характерные времена завершения этих процессов различны, возрастают в порядке перечисления, и подбором дисперсности компонентов заряда можно реализовать ситуацию, когда за времена разложения ВВ в детонационной волне (ДВ) частицы добавки будут сжаты и вовлечены в поток продуктов взрыва, но практически не прогреваются. При этом снижение параметров детонации определяется только сжимаемостью материала добавки, информацию об особенностях изменения которой с давлением можно получить из анализа снижения параметров детонации зарядов одного ВВ разной плотности или зарядов разных веществ близкой плотности. Ниже сказанное иллюстрируется на примере сравнения скоростей детонации зарядов тротила, октогена и гексогена, содержащих хлористые натрий и калий, нитрид бора, алюминий, тальк, бензол, гексан и раствор CCl_4 и гексана с плотностью бензола. Размеры частиц добавок и ВВ 10—50 мкм и не варьировались для каждой из смесей.